

بررسی اثر دمای خشک کردن بر ویژگی‌های ساختاری، دیالکتریکی، اپتیکی و مغناطیسی نانوذرات BiFeO_3 سنتز شده به روش سل-ژل

محمد رنجبر، محمدابراهیم قاضی*، مرتضی ایزدی فرد

دانشکده فیزیک، دانشگاه صنعتی شاهرود، شاهرود

(دریافت مقاله: ۹۶/۱/۱۶، نسخه نهایی: ۹۶/۵/۲۸)

چکیده: در این پژوهش اثر دمای خشک کردن بر ویژگی‌های ساختاری، دیالکتریکی، اپتیکی و مغناطیسی نانوذرات فریت بیسموت خالص تهیه شده به روش سل-ژل بررسی شد. نمونه‌ها با دماهای خشک کردن 80°C ، 100°C ، 120°C و 150°C و کلسینه در دمای 500°C به مدت ۴ ساعت تهیه شدند. نتایج پراش پرتو ایکس تشکیل فاز پروسکایت BiFeO_3 با گروه فضایی $R3c$ را تایید کرد. همچنین نتایج نشان داد که بیشترین درصد خلوص BiFeO_3 با مقدار ۷٪ مربوط به نمونه خشک شده در دمای 120°C است. گاف نواری نمونه‌ها از ۱۸۹ تا ۲۰۷ eV به دست آمد که در توافق با مقادیر گزارش شده است. نمودار مغناطش بر حسب میدان مغناطیسی نمونه‌ها در دمای اتاق نشان می‌دهد که همه نمونه‌ها دارای ویژگی فرومغناطیسی هستند.

واژه‌های کلیدی: فریت بیسموت؛ ویژگی‌های ساختاری؛ گاف نواری؛ ویژگی مغناطیسی.

است به عنوان یک چند فرویی ویژه شناخته می‌شود که به دلیل داشتن دمای کار بالاتر از دمای اتاق بسیار مورد توجه قرار گرفته است [۶-۸]. با وجود بررسی‌های فراوان بر این ماده، پژوهش پیرامون شکل‌های گوناگون BiFeO_3 مانند حالت کپه‌ای، لایه‌های نازک، نانوذرات، نانومیله‌ها، نانو لوله‌ها و حتی نانوتسممه‌ها همچنان ادامه دارد. برخی از شرکت‌های بزرگ تولید کننده قطعات الکترونیکی پیشرفت‌های نیز برای این ماده حساب ویژه‌ای باز کرده‌اند. برای مثال شرکت فوجیتسو در سال ۲۰۰۷ یک حافظه RAM فروالکتریک روانه بازار کرد که با استفاده از لایه‌ی نازک BiFeO_3 با آلایش Mn ساخته شده بود. نانوذرات BiFeO_3 یک نیمرسانا با لبه‌ی جذب در گستره مرئی است [۹].

در واقع این تقارن‌های بلوری هستند که امکان وجود قطبش فروالکتریک خالص را در این ترکیب ممکن می‌سازند.

مقدمه

افزایش درجات آزادی در مواد چند فرویی، به واسطه وجود همزمان بیش از یک نوع نظم فرویی در این مواد، در زمینه‌های گوناگون کاربردی مانند اسپینترونیک، حافظه‌های الکتریکی نافرار، قطعات میکروالکترونیک، حسگرها، قطعات فتوولتایی و ریزموچ و غیره زمینه گسترده‌ای از پژوهش‌ها را پیش روی این مواد گشوده است [۱-۴]. یکی از جذاب‌ترین پدیده‌ها در این مواد، اثر جفت‌شدگی مغناطوالکتریکی است که توانایی کنترل همزمان مغناطش و قطبش الکتریکی را فراهم می‌کند [۵]. در این میان، BiFeO_3 به عنوان یکی از محدود مواد چند فرویی که در دمای اتاق دارای هر دو نوع نظم الکتریکی و مغناطیسی است، مورد توجه بسیار قرار گرفته است. BiFeO_3 (BFO) که در دمای اتاق دارای فاز پادفرومغناطیس با دمای گذار $T_N \sim 640\text{K}$ و فاز فروالکتریک با دمای گذار $T_C \sim 1100\text{K}$

ویژگی‌های این ماده داشته باشند، خالص سازی BiFeO_3 اهمیت بسیاری پیدا می‌کند.

البته سنتز فاز خالص BiFeO_3 مشکل است [۶، ۹]. بیشتر برای سنتز این ماده از روش‌های حالت جامد و روش‌های شیمیایی استفاده می‌شود. در روش‌های حالت جامد از اکسیدهای جامد فلزهای آهن و بیسموت (Fe_2O_3 و Bi_2O_3) به عنوان مواد اولیه استفاده می‌شود در حالی که در روش‌های شیمیایی عموماً از ترکیب‌های نیترات فلزها به عنوان مواد پایه استفاده می‌شود. نیاز به دمای بالا (در حدود 800°C) برای تشکیل بلور و نیاز به شستشو جهت حذف فازهای ناخواسته در روش‌های حالت جامد از یک سو و تشکیل فاز خالص تر BiFeO_3 در دماهای پایین به وسیله روش‌های شیمیایی از سوی دیگر، کاربرد این روش‌ها را در میان پژوهشگران با اقبال بیشتری مواجه کرده است [۱۱، ۷، ۶]. از جمله روش‌های شیمیایی به کار رفته روش گرمابی و روش احتراق ژل هستند که به ترتیب فشار بالای مورد نیاز و وجود فازهای ناخالصی از کاستی‌های این روش‌ها هستند [۶]. روش شیمیایی دیگری که مورد توجه بیشتری قرار گرفته است روش سل-ژل است که توانایی آن در تهیه فاز خالص تر BiFeO_3 توسط کارهای پژوهشی گوناگون تایید شده است [۶]. در کارهای گوناگون از مواد متفاوتی مانند اسید تارتاریک و اسید سیتریک به عنوان عامل کمپلکس‌ساز برای روش سل-ژل به کار گرفته شده است [۱۱].

اسید سیتریک به عنوان عامل کمپلکس‌ساز به دلیل دمای شکست و تجزیه پائینی (150°C) که دارد موجب می‌شود که بتوان فاز BiFeO_3 خالص را در دمای پائین‌تری تهیه کرد [۱۲]. این برتری اسید سیتریک می‌تواند نوید بخش این موضوع باشد که برای تهیه BiFeO_3 نیاز به دماهای بالا نداریم و در نتیجه می‌توانیم امیدوار باشیم که با این روش از کمود بیسموت در واکنش، که به واسطه فراربودن بیسموت در دماهای بالا اتفاق می‌افتد، جلوگیری شود.

در میان پژوهش‌های انجام شده گزارش‌های اندکی در مورد بررسی شرایط دمایی تهیه نانوذرات فریت بیسموت با اسید سیتریک به عنوان عامل کمپلکس‌ساز بر خلوص نانوذرات به چشم می‌خورد. بنابراین در این کار ما به بررسی تاثیر شرایط دمایی بر میزان خلوص، خواص ساختاری، ریخت‌شناسی، ویژگی‌های دی‌الکتریکی، خواص مغناطیسی و اپتیکی نانوذرات BiFeO_3 تهیه شده به روش سل-ژل با اسید سیتریک به عنوان عامل کمپلکس‌ساز پرداختیم.

در دمای اتاق دارای ساختار بلوری لوزی رخ کج شده با گروه فضایی $R3c$ است [۶، ۷]. در این ساختار کاتیون‌های O^{2-} و Fe^{3+} از جایگاه آرمانی خود نسبت به آنیون O^{2-} در راستای [۱۱] جای‌جا شده‌اند که همین جای‌جا نسبی یون-ها دلیل پیدایش ویژگی فروالکتریک در این ماده است [۲، ۱۰]. علاوه بر این، BiFeO_3 در دمای اتاق دارای نظم پادفرومغناطیس نوع G است که منجر به افزایش خطی مغناطش با افزایش میدان مغناطیسی اعمال شده می‌شود [۵-۷]. اما به دلیل ترکیب برهمنکنش‌های تبادلی و برهمنکنش‌های اسپین-مدار، اسپین هریک از زیرشبکه‌های پادفرومغناطیس اندکی از راستای آرمانی خود کج شده که همین کج‌شدنی موجب می‌شود که یک گشتاور مغناطیسی بسیار کوچک به صورت جبران نشده باقی بماند [۱۱، ۱۲]. این گشتاورهای مغناطیسی کوچک ناشی از کج شدنی گشتاورهای مغناطیسی زیرشبکه‌ها در ساختار بلوری BFO یک ساختار مغناطیسی مارپیچی^۱ با دوره تنابوب 62 nm ~ شکل می‌دهند که در نتیجه باعث می‌شود که در حالت کپه‌ای هیچ مغناطش باقی‌مانده‌ای نداشته باشد [۸، ۲]. در نتیجه بنابر گزارش‌های مختلف یکی از روش‌هایی که می‌تواند منجر به افزایش خاصیت فرومغناطیس در BiFeO_3 شود کاهش ابعاد دانه‌های نمونه تهیه شده به کمتر از دوره تنابوب ساختار مارپیچی (کمتر از حدود 62 نانومتر) است [۲].

با وجود همه‌ی برتری‌هایی که این ماده دارد باز هم مشکلاتی بر سر راه کاربردی کردن قطعات بر پایه‌ی BiFeO_3 وجود دارد. از جمله این مشکلات می‌توان به رسانایی بالایی که در بیشتر شکل‌های این ماده وجود دارد و تشکیل فازهای ناخواسته در مراحل سنتز این ماده اشاره کرد [۳-۸]. از جمله فراورده‌های ثانویه معمول در تهیه نانوذرات خالص آلایش یافته BiFeO_3 می‌توان به $\text{Bi}_{2\text{Fe}_4\text{O}_9}$ ، $\text{Bi}_{2\text{Fe}_2\text{O}_{39}}$ ، $\text{Bi}_{2\text{Fe}_2\text{O}_{40}}$ و Fe_2O_3 یا Bi_2O_3 و حتی یک پوسته بی-اکسیدهای فلزی مثل Bi_2O_3 و Fe_2O_3 شکل به ضخامت 1 تا 2 نانومتر پیرامون این نانو ذرات اشاره کرد [۹]. برای نمونه فاز دوم $\text{Bi}_{2\text{Fe}_4\text{O}_9}$ پیشتر به عنوان یک ساختار نامغناطیسی مطرح بود. اما به تازگی پژوهش‌های ژانگ و همکارانش نشان داد که این فاز به دلیل وجود اسپین‌های جبران نشده‌ی سطحی بر سطح نانوبولرهای پادفرومغناطیس $\text{Bi}_2\text{Fe}_4\text{O}_9$ از خود ویژگی‌های مغناطیسی نشان می‌دهد [۱۱]. از آنجا که فراورده‌های ثانویه‌ی واکنش می‌توانند تاثیر زیادی بر

1- Spiral spin structure

kV، TESCAN) و ویژگی‌های مغناطیسی نمونه‌ها با دستگاه (VSM، Meghnatis. Magnatis سنج نمونه ارتعاشی (Daghighe Kavir Co.; Kashan) بررسی شد.

بحث و بررسی

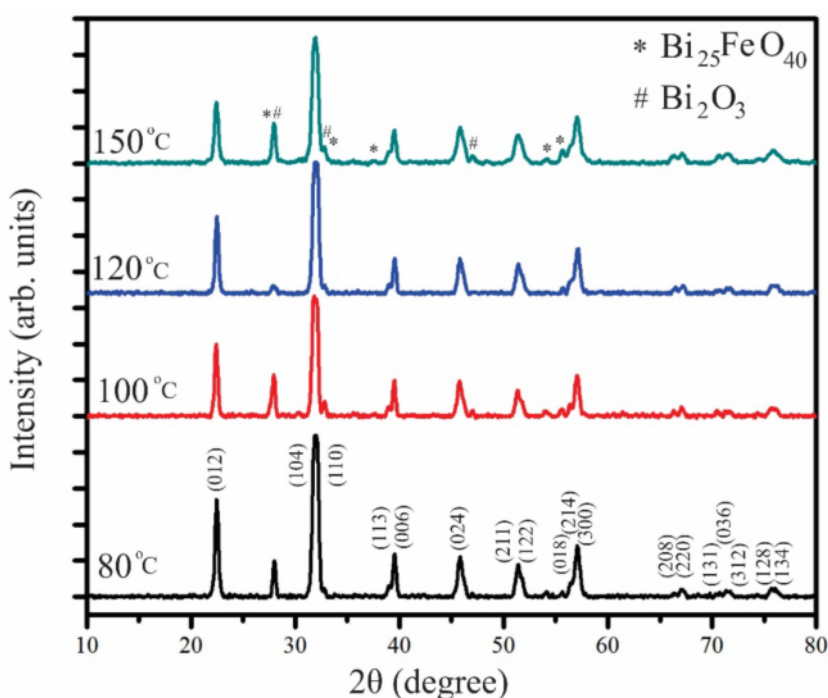
شكل ۱ الگوهای پراش پرتوی ایکس نمونه‌های سنتز شده با دماهای خشک کردن متفاوت و دمای کلسینه $^{\circ}\text{C}$ ۵۰۰ را نشان می‌دهد. فاز غالب تمام نمونه‌ها فاز ششگوشی با گروه فضایی R3c است (PDF 01-086-1518). در الگوهای قله‌های پراش فازهای ناخالصی نیز مشخص شده‌اند. درصد خلوص نمونه‌های خشک شده در دماهای متفاوت با استفاده از سطح زیر قله‌های پراش مربوط به فاز BiFeO_3 خالص نسبت به سطح کل زیر منحنی قله‌های پراش پرتو ایکس، محاسبه شده که نتایج در جدول ۱ آمده است. درصد خلوص برای نمونه‌های خشک شده در دماهای ۸۰، ۱۰۰، ۱۲۰ و ۱۵۰ درجه سانتیگراد به ترتیب برابر با ۹۴٪، ۸۶٪، ۹۶٪ و ۸۴٪ درصد بدست آمد. الگوهای پراش پرتو ایکس نشان می‌دهد که در نمونه خشک شده در دمای ۸۰ درجه سانتیگراد شدت قله‌های مربوط به فاز ناخالصی Bi_2O_3 نسبت به نمونه‌های خشک شده در دمای ۱۰۰ و ۱۵۰ درجه سانتیگراد بسیار کمتر است. محیط اسیدی محلول می‌تواند مستعد توزیع نایکنواخت و کمبود کاتیون در برخی بخش‌های زیروژل و در نتیجه تشکل فازهای با نسبت کاتیونی ناهنجار در پودر خشک شده باشد. این فازهای ناهنجار همان فراورده‌های ثانویه ناخواسته و شامل فازهای $\text{Bi}_{25}\text{FeO}_{40}$ و $\text{Bi}_2\text{Fe}_4\text{O}_9$ هستند. در محیط اسیدی محلول (Bi)(III) فرآیند سانتیگراد گرما داده شد تا پلی وینیل الكل حذف شود. سپس کاتیونی چندهسته‌ای مانند $[\text{Bi}_6\text{O}_4(\text{OH})_4]^{+6}$ و $[\text{Bi}_6\text{O}_5(\text{OH})_3]^{+5}$ تشکیل می‌شود [۹]. این اجزاء چندهسته‌ای خوش‌هایی را تشکیل می‌دهند و سرانجام این خوش‌های چندهسته‌ای پس از پخت به فازهای a و β - Bi_2O_3 و یا حتی فازهای سهتایی با فراوانی بیسموت مانند $\text{Bi}_{25}\text{FeO}_{40}$ تجزیه بیسموت مواجه هستیم (در بخش‌های خوش‌های بیسموت) در بخش دیگری از واکنش به ناچار با کمبود بیسموت روپرو بوده و در نتیجه فازی با فراوانی آهن مانند $\text{Bi}_2\text{Fe}_4\text{O}_9$ شکل می‌گیرد. میانگین اندازه‌ی بلورکها (D) برای نمونه‌های گوناگون به کمک رابطه شر (رابطه ۱) و قله‌های (۰۱۲)، (۰۰۴) و (۱۱۰) محاسبه شد که نتایج بدست آمده در جدول ۱ آمده است.

روش بررسی

در این مقاله برای تهیه نانوذرات فریت بیسموت به روش سل-ژل از نیترات‌های فلزی، اسید سیتریک و دومتوکسی اتانول به عنوان مواد اولیه استفاده شد. ابتدا مقادیر مولی مناسب از $\text{Bi}(\text{NO}_3)_3 \cdot 5\text{H}_2\text{O}$ (نیترات بیسموت ۹۹.۹۹% Sigma Aldrich) و $\text{Fe}(\text{NO}_3)_3 \cdot 9\text{H}_2\text{O}$ (نیترات آهن ۹۹.۵% Merck) در ۲-متوكسی اتانول (۹۹% Merck) حل شده و برای ۲ ساعت در دمای اتاق هم زده شد. با افزودن ۲-متوكسی اتانول، غلظت محلول نهایی 0.3 Molar تنظیم شد. پس از این مرحله با افزودن مقداری محلول آمونیاک (Ammunia) از pH ۲.۵% Merck محلول در حدود ۱ تنظیم گردید. افزودن آمونیاک به محلول باید به صورت قطره قطره و با همزدن شدید انجام شود. سپس اسید سیتریک با نسبت نیترات به نیترات ۱:۱ با نیترات‌های فلزی به عنوان عامل کمپلکس‌ساز به محلول افزوده شد. سرانجام محلول برای مدت ۲۴ ساعت روی همزن مغناطیسی در دمای اتاق قرار گرفت. محلول نهایی در حمام روغن در دماهای ۸۰، ۱۰۰، ۱۲۰ و ۱۵۰ درجه سانتیگراد خشک و سپس همه نمونه‌ها در دمای ۵۰°C برای مدت ۴ ساعت کلسینه شدند.

برای بررسی ویژگی‌های دیالکتریک نمونه‌ها، پودر BiFeO_3 با مقدار بسیار کمی پلی وینیل الكل (PVA) مروطوب شده و در یک قالب استوانه‌ای با شعاع ۶ میلی متر و ارتفاع حدود ۱ میلی متر برای مدت ۲۰ ثانیه با فشار ۱۰ تن قرار گرفته و سپس برای مدت ۲ ساعت در دمای ۵۰۰ درجه سانتیگراد گرما داده شد تا پلی وینیل الكل حذف شود. سپس با روش کندوپاش بر هر دو سمت قرص‌های تهیه شده لایه‌هایی از طلا با ضخامت حدود ۲۰۰ nm به عنوان الکترود رسانا لایه نشانی شد. برای ایجاد اتصال الکتریکی نیز از چسب نقره استفاده گردید.

ویژگی‌های ساختاری نمونه‌ها با دستگاه پراش پرتوی ایکس D8-Advanced Bruker (XRD) با تابش CuK_α با طول موج $\lambda = 1.5406 \text{ \AA}$ در گستره $2\theta = 10^\circ$ تا 80° درجه با گام 0.04° درجه بر ثانیه مورد بررسی قرار گرفت. ثابت دیالکتریک و اتلاف دیالکتریک نمونه‌ها با یک دستگاه امپدانس سنج، ویژگی‌های اپتیکی با دستگاه طیفسنج Uv-vis (UV1800 Shimadzu)، ریخت‌شناسی نمونه‌ها با میکروسکوپ الکترونی روبشی گسیل میدانی (FESEM, 15



شکل ۱ الگوهای پراش پرتو ایکس برای نمونه‌های خشک شده در دماهای ۸۰، ۱۰۰، ۱۲۰ و ۱۵۰ درجه سانتیگراد و کلسینه شده در دمای ۵۰۰ درجه سانتیگراد.

جدول ۱ پارامترهای شبکه ششگوشی و درصد فازی BFO نمونه‌ها، اندازه متوسط بلورک‌ها و دانه‌ها که به ترتیب از نتایج XRD و SEM به دست آمده‌اند.

دماهای خشک سازی	a (Å)	c (Å)	اندازه متوسط بلورک‌ها(nm)	مقدار فاز BFO (%)	اندازه متوسط دانه‌ها (nm)	حجم یاخته (یکه Å^3)
۸۰	۵,۵۶۷	۱۳,۸۱۰	۲۴,۰۰	۹۴,۰	۴۰	۳۷۰,۶۵۳۵
۱۰۰	۵,۵۷۰	۱۳,۸۹۱	۲۸,۲۷	۸۶,۸	۴۳	۳۷۳,۱۴۸۸
۱۲۰	۵,۵۶۲	۱۳,۸۱۳	۲۴,۶۷	۹۶,۷	۳۵	۳۷۰,۱۴۷۸
۱۵۰	۵,۵۷۲	۱۳,۸۳۷	۲۴,۱۰	۸۴,۰	۵۳	۳۷۲,۱۲۱۱

چنانکه مشاهده می‌شود برای همه نمونه‌ها اندازه‌ی بلورک‌ها کمتر از اندازه‌ی دوره مسیر مارپیچی نظام فضایی گشتاورهای مغناطیسی ($\sim 62 \text{ nm}$) است و بنابراین انتظار داریم در نمونه‌های سنتز شده ویژگی فرومغناطیسی ضعیف را ببینیم. در شکل ۲ الگوهای پراش پرتو ایکس نمونه‌ها در گستره $2\theta = 31^\circ - 33^\circ$ نشان داده شده است. دیده می‌شود که قله‌های (104) و (110) اندکی به سمت زاویه‌های کوچکتر انتقال پیدا کرده‌اند کاهش یافته است نشانگر انتقال فاز از ششگوشی به راستگوشی است [۱۲]. این نتایج بیانگر شروع انتقال فاز با افزایش دمای خشک کردن است. مقادیر ثابت‌های

$$D = \frac{k \lambda}{\beta \cos \theta} \quad (1)$$

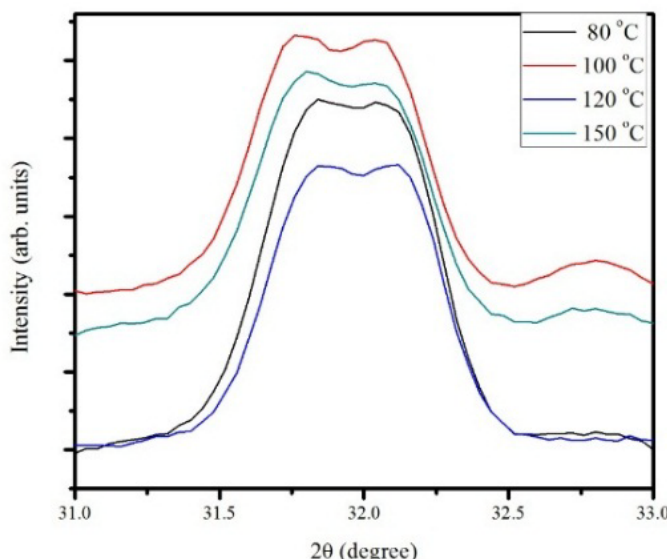
در این رابطه λ طول موج پرتو ایکس، β پهنا در نیم ارتفاع بیشینه (FWHM)، θ زاویه برآگ و k ثابتی است که مقدار آن 0.9 اختیار شده است [۱۳]. ثابت‌های شبکه با محاسبه فاصله بین صفحه‌های بلوری (d_{hkl}) به کمک رابطه برآگ و استفاده از رابطه (۲) [۱۴] برای ساختار محاسبه شد که نتایج در جدول ۱ آمده است.

$$\frac{1}{d_{[hkl]}^2} = \frac{4}{3} \left(\frac{h^2 + k^2 + l^2}{a^2} \right) + \frac{l^2}{c^2} \quad (2)$$

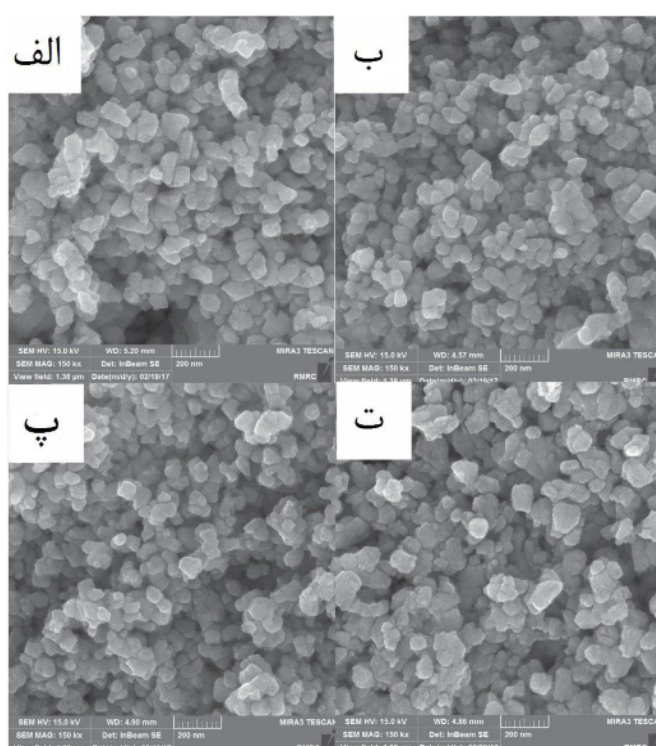
شکل ۳ نشان داده شده است. دیده می‌شود که با افزایش دمای خشکسازی، توزیع اندازه دانه‌ها یکنواخت‌تر شده و نمونه‌ی خشک شده در دمای 150°C دارای دانه‌های بزرگتری است. اندازه متوسط دانه‌ها در جدول ۱ آورده شده است.

شبکه محاسبه شده در توافق با مقادیر گزارش شده بوده [۱۲،۶] و تغییرات اندک در مقادیر ثابت‌های شبکه نمونه‌ها بدلیل وجود مقدار کمی فازهای ناخالصی است.

تصاویر میکروسکوپ الکترونی روبشی گسیل میدانی (با بزرگ نمای ۲۰۰nm) (FESEM) تهیه شده از نمونه‌ها در



شکل ۲ الگوهای پراش پرتوی ایکس برای نمونه‌های خشک شده در دماهای مختلف در گستره 31° تا 33° . 2θ

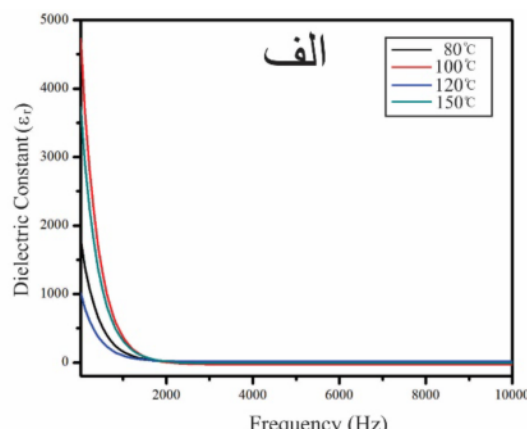
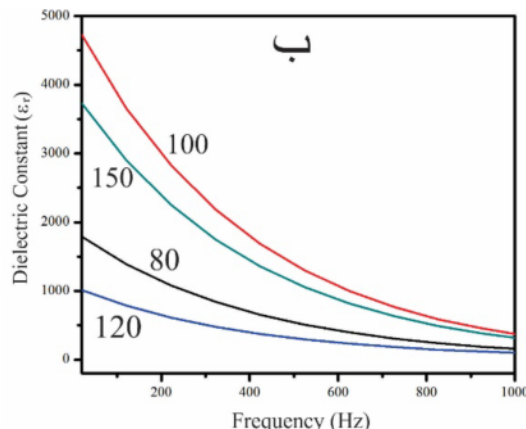


شکل ۳ تصاویر میکروسکوپ الکترونی روبشی گسیل میدانی (FESEM) نمونه‌های خشک شده در دمای (الف) 80°C (ب) 100°C (پ) 120°C (ت) 150°C درجه سانتیگراد.

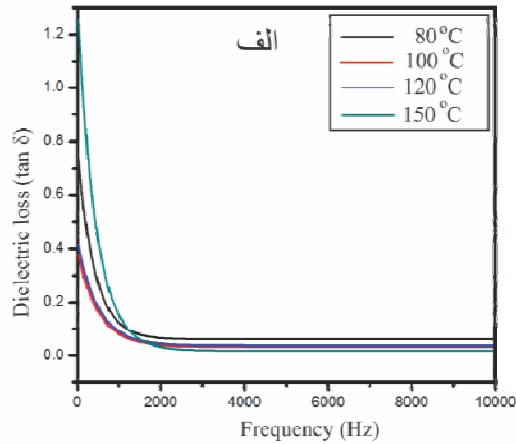
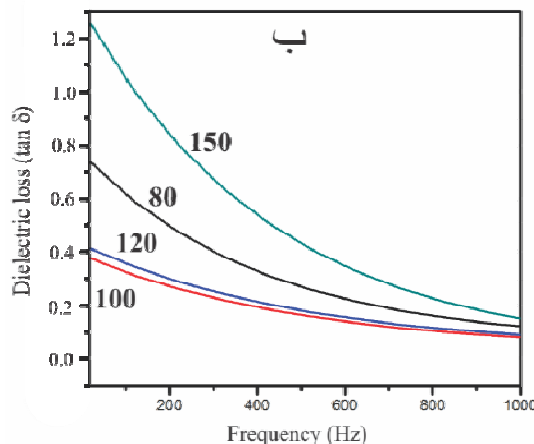
عمده‌ای دارند، کمتر بودن تغییرات ضریب دیالکتریک نمونه خشک شده در دمای 120°C نسبت به نمونه‌های دیگر در این گستره، به کمتر بودن مقایص باردار و بارهای فضایی در این نمونه مربوط است [۱۹]. این موضوع می‌تواند موجب کاهش جریان نشتی در نمونه نیز شود.

با توجه به شکل ۵ دیده می‌شود که نمونه خشک شده در 100°C کمترین مقدار اتلاف را در بین نمونه‌ها دارد و نمونه خشک شده در 120°C با اختلاف اندکی در جایگاه بعدی قرار دارد. با وجود این، با توجه به شکل ۴ مشخص است که نمونه خشک شده در 100°C پراکندگی دیالکتریک بسیار بیشتری نسبت به نمونه 120°C دارد، که به معنی ضریب دیالکتریک بسیار بزرگ در بسامدهای پایین و ضریب دیالکتریک پایین در بسامدهای بالا است [۱۹].

شکل‌های ۴ و ۵ تغییرات ضریب دیالکتریک و تانزانست اتلاف دیالکتریکی نمونه‌ها را بر حسب بسامد نشان می‌دهد. در بسامدهای کم، ضریب دیالکتریک تمام نمونه‌ها با افزایش بسامد کاهش می‌یابد. در این گستره بسامدی مرزهای دانه‌ها و دیگر مقایص باردار (مانند تهی جاهای اکسیژنی) تاثیر عمده‌ای دارند [۱۷-۱۵]. اما در بسامدهای بالا ضریب دیالکتریک و تانزانست اتلاف دیالکتریکی تقریباً مستقل از بسامد هستند. این رفتار به این دلیل است که در بسامدهای پایین بارهای فضایی فرصت هماهنگ شدن با شرایط را دارند اما در بسامدهای بالا بارهای فضایی نمی‌توانند تغییرات سریع میدان اعمالی را دنبال کنند [۱۸]. قطبش بارهای فضایی نقش مهمی بر ضریب و تانزانست اتلاف دیالکتریکی دارند. از آنجا که در گستره بسامدهای کم، بارهای فضایی مانند تهی جاهای اکسیژنی نقش

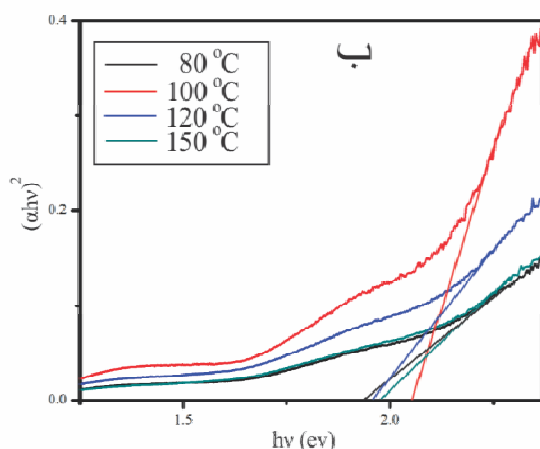


شکل ۴ تغییرات ضریب دیالکتریک نمونه‌های خشک شده در دمایهای 80°C ، 100°C ، 120°C و 150°C در گستره 20 تا 10000 هرتز، ب) در گستره 20 تا 1000 هرتز.



شکل ۵ تغییرات تانزانست اتلاف دیالکتریکی نمونه‌های خشک شده در دمایهای 80°C ، 100°C ، 120°C و 150°C در گستره 20 تا 10000 هرتز، ب) در گستره 20 تا 1000 هرتز.

است. این بررسی نشان می‌دهد که گاف نواری نمونه‌ها حدودی به دمای خشکسازی آن‌ها بستگی دارد. بیشترین و کمترین گاف نواری به دست آمده به ترتیب مربوط به نمونه‌های خشک شده در دماهای 100°C و 80°C هستند. مقدار گاف نواری نمونه‌ها در توافق با مقادیر گزارش شده برای نانو-ساختارهای BFO (۰.۸ eV تا ۱.۸ eV) است [۲۳-۲۵]. بررسی منحنی‌های تائوک نشان می‌دهد که در گستره‌ی انرژی‌های کمتر از حدود 1.9 eV (انرژی‌های کمتر از گاف نواری) گذارهای جذبی دیگری نیز روی داده است (در حدود انرژی 1.5 eV) که مربوط به حضور حالت‌های الکترونی و در نتیجه گذارهای الکترونی ناشی از آن‌ها در این گستره انرژی است. حضور این حالت‌های الکترونی می‌تواند بدلیل حضور تهی-جاها اکسیژن و دیگر نقص‌های شبکه‌ای در ساختار BiFeO₃ باشد که معمولاً در بیشتر اکسیدها گزارش می‌شود [۲۶، ۲۷]. تهی‌جاها اکسیژن معمولاً می‌توانند حالت‌های جایگزینی در گاف نواری ایجاد کنند چرا که بار خالص مثبت (مانند تهی‌جا وابسته به آنیون‌های اکسیژنی) باعث می‌شود که کاتیون‌های هم‌جوار از جایگاه تهی‌جا دور شده و در نتیجه ترازهای انرژی وابسته به این ناخالصی‌ها ایجاد شده و تعداد آنها افزایش یابد.



شکل ۶ (ب) طیف‌های بازتابی نمونه‌های خشک شده در 80°C , 100°C , 120°C و 150°C درجه سانتیگراد.

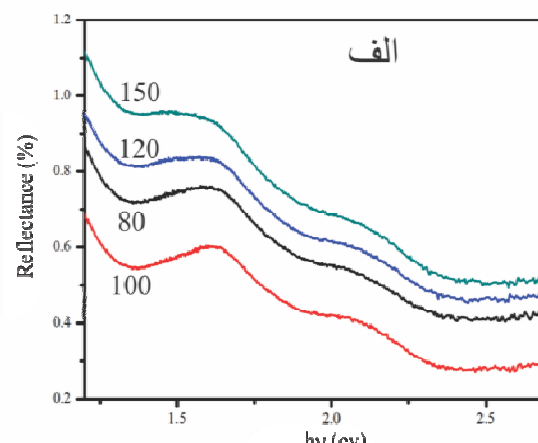
برای بررسی ویژگی‌های اپتیکی نمونه‌ها، تغییرات بازتابندگی از سطح نمونه‌ها در گستره طول موجی 400 تا 1100 نانومتر اندازه‌گیری شد. در شکل ۶ (الف) نمودار بازتابندگی از سطح نمونه‌هادر گستره انرژی 1.25 eV تا 3 eV نشان داده شده است. چنانکه دیده می‌شود رفتار طیف بازتابی نمونه‌ها در گستره انرژی بررسی شده تقریباً یکسان بوده اما میزان بازتاب با توجه به دمای خشکسازی تغییر کرده است. بیشترین و کمترین بازتاب‌ها به ترتیب مربوط به نمونه‌های خشک شده در دماهای 150°C و 80°C است. برای محاسبه گاف نواری نمونه‌ها می‌توان از تابع کوبلاک-مانک که با جذب اپتیکی (α) متناسب است، استفاده کرد [۲۰]؛

$$F(R) = \frac{(1-R)^2}{2R} \quad (3)$$

که در آن R مقدار بازتاب نمونه در یک طول موج مشخص است. از آنجا که BFO یک نیمرسانا با گاف نواری مستقیم است [۲۱-۲۲]، پس با رسم نمودار تائوک (شکل ۶) با رابطه زیر و برونویابی بخش خطی این نمودار تا محور انرژی می‌توان گاف نواری نمونه‌ها را بدست آورد؛

$$(\alpha h\nu)^2 = A(h\nu - E_g) \quad (4)$$

در این رابطه A یک مقدار ثابت و $h\nu$ انرژی فوتون فروند است. مقادیر گاف نواری بدست آمده در جدول ۲ گزارش شده



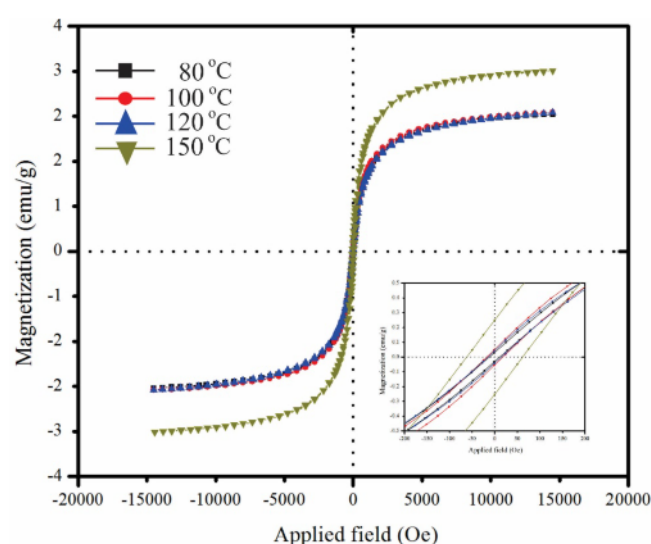
جدول ۲ گاف انرژی نواری بدست آمده برای نمونه‌های خشک شده در دماهای مختلف.

دماهای خشک سازی	80°C	100°C	120°C	150°C
$E_g (\text{eV}) (\pm 0.03 \text{ eV})$	۱.۸۹	۲.۰۷	۱.۹۰	۱.۹۱

فرومغناطیسی ضعیف در BFO است [۳۰]. از سوی دیگر ساختار مارپیچی اسپینی با دوره نوسان ۶۲ نانومتر در BiFeO_3 موجب صفر شدن مغناطش نمونه در مقایسه ماکروسکوپیکی می‌شود. بر اساس آنچه در مقالات گزارش شده است یکی از راههای افزایش ویژگی فرومغناطیسی در نمونه‌های فریت بیسموت، کوچکتر کردن اندازه دانه‌ها نسبت به دوره نوسان ساختار مارپیچی اسپینی (۶۲ nm) است که به دلیل ناقمای ماندن دوره چرخش ساختار اسپینی، مغناطش خالص نمونه صفر نخواهد شد و بر عکس با افزایش اندازه دانه، مغناطش کاهش می‌باید [۳۲]. برای مثال در مرجع [۳۳] اشاره شده است که با افزایش اندازه دانه از ۱۴ تا ۲۴۵ نانومتر در نمونه BFO، مغناطش بیشینه نمونه از حدود ۱/۵ به کمتر از ۰.۱ emu/g می‌رسد. داده‌های جدول ۳ نشان می‌دهد که نمونه خشک شده در ${}^{\circ}\text{C}$ ۱۵۰ با وجود اینکه اندازه دانه بزرگتری دارد، مغناطش و وادارندگی آن به طور غیرمنتظره‌ای افزایش یافته است. با در نظر گرفتن اینکه نمونه خشک شده در ${}^{\circ}\text{C}$ ۱۵۰ نسبت به دیگر نمونه‌ها دارای درصد بیشتری حاوی فاز ثانویه $\text{Bi}_{25}\text{FeO}_{40}$ است و با توجه به اینکه این فاز ناخواسته در دمای اتانق یک فاز ابرپارامغناطیس با ساختار مکعبی است [۳۴] و در مراجع مختلف از جمله [۳۵] مقادیر مغناطش اشباع بیش از ۵ emu/g در دمای اتانق برای این فاز گزارش شده است، این افزایش مغناطش در نمونه ${}^{\circ}\text{C}$ ۱۵۰ احتمالاً می‌تواند بدلیل حضور این فاز ناخالصی مغناطیسی در نمونه باشد.

برای بررسی رفتار مغناطیسی نمونه‌ها، حلقه پسماند مغناطیسی آن‌ها در دمای اتانق با دستگاه VSM ثبت شد که در شکل ۷ نشان داده شده‌اند، دیده می‌شود که تمام نمونه‌های سنتز شده از خود ویژگی فرومغناطیسی ضعیف را نشان می‌دهند. نتایج بررسی‌ها نشان داده است که این ترکیب در حالت کپه‌ای پادفرومغناطیس است و در صورتی که ابعاد بلورک‌ها از حدی کوچکتر شوند رفتار فرومغناطیسی ضعیف از خود نشان می‌دهند [۱۲]. پس وجود رفتار فرومغناطیسی می‌تواند به دلیل اندازه کوچک بلورک‌ها و توقف ساختار مارپیچی اسپینی در نمونه‌ها باشد [۱۱]. مشخصه‌های مغناطیسی نمونه‌های خشک شده در دماهای مختلف که از نمودارهای شکل ۷ به دست آمده‌اند، در جدول ۳ ارائه شده است. مغناطش اشباع نمونه‌ها بین ۰ تا ۳ emu/g برای BFO خالص در میدان‌های خالص است. در مرجع [۲۸] برای BFO مغناطش اشباع حدود ۰.۳ emu/g و اعمالی حدود ۲۰ KOe در طیف XRD آن آثاری در مرجع [۲۹] برای این ترکیب که در طیف XRD آن آثاری از فازهای ثانویه نیز مشاهده شده است، مغناطش اشباع بیشتر از ۱ در میدان‌های اعمالی حدود ۳۰ KOe گزارش شده است.

اسپین‌های یون‌های آهن در فریت بیسموت (با نظم پادفرومغناطیس نوع G) به دلیل برهمنکش ذیالوشنیسکی-موریا اندکی از راستای آرمانی پادفرومغناطیس کج شده‌اند که همین کج‌شدنگی اسپین‌ها موجب بوجود آمدن خاصیت



شکل ۷ حلقه‌های پسماند مغناطیسی نمونه‌های خشک شده در دماهای ۸۰، ۱۰۰، ۱۲۰ و ۱۵۰ درجه سانتیگراد. شکل داخلی این حلقه‌ها را در نواحی میدان کم نشان می‌دهد.

جدول ۳ مشخصه‌های مغناطیسی نمونه‌های خشک شده در دماهای مختلف.

دماهای خشک سازی (°C)	مغناطش اشباع (emu/g)	مغناطش مانده (emu/g)	میدان وادارندگی (Oe)
۸۰	۲,۴۲	۰,۰۳۰۳	۱۱,۵۹
۱۰۰	۲,۴۵	۰,۰۵۱۳	۲۰,۵۱
۱۲۰	۲,۴۴	۰,۰۴۲۵	۱۷,۰۲
۱۵۰	۳,۱۹	۰,۲۵۰۰	۶۳,۸۵

co-substituted BiFeO₃ nanoparticles", Materials Letters 171 (2016) 34-37.

[5] Gowrishankar M., Rajan Babu D., Madeswaran S., "Effect of Gd-Ti co-substitution on structural, magnetic and electrical properties of multiferroic BiFeO₃", *Journal of Magnetism and Magnetic Materials* 418 (2016) 54-61.

[6] Wang X., Zhang Y. G., Wu Z., "Magnetic and optical properties of multiferroic bismuth ferrite nanoparticles by tartaric acid-assisted sol-gel strategy", *Materials Letters*, 64 (2010) 486-488

[7] Wang J., Wei Y., Zhang J., Ji L., Huang Y., Chen Z., "Synthesis of pure-phase BiFeO₃ nanopowder by nitric acid-assisted gel." *Materials Letters* 124 (2014) 242-244.

[8] Han Y., Mao W., Quan C., Wang X., Yang J., Yang T., Huang W., "Enhancement of magnetic and ferroelectric properties of BiFeO₃ by Er and transition element (Mn, Co) co-doping", *Materials Science and Engineering: B* 188 (2014) 26-30.

[9] Ortiz-Quiñonez J. L., Díaz D., Zumeta-Dubé I., Arriola-Santamaría H., Betancourt I., Santiago-Jacinto P., Nava-Etzana N., "Easy synthesis of high-purity BiFeO₃ nanoparticles: new insights derived from the structural, optical, and magnetic characterization", *Inorganic chemistry* 52, no. 18 (2013) 10306-10317.

[10] Ederer C., Spaldin N. A., "Weak ferromagnetism and magnetoelectric coupling in bismuth ferrite", *Physical Review B* 71, no. 6 (2005) 060401.

[11] Rojas-George G., Concha-Balderrama A., Silva J., Fuentes L., Reyes-Rojas A., "Elucidating the real effect of Ba and Co doping on the magnetic and optical properties of BiFeO₃", *Ceramics International* 41, no. 7 (2015) 9140-9145.

[12] Hasan M., Islam M. F., Mahbub R., Hossain M. S., Hakim M. A., "A soft chemical route to the synthesis of BiFeO₃ nanoparticles with enhanced magnetization", *Materials Research Bulletin* 73 (2016) 179-186.

[13] Scherrer P., Göttinger Nachrichten Math. Phys. 2, (1918) 98.

برداشت

در این پژوهش نانوذرات فریت بیسموت به روش سل-ژل تهیه شدند. بررسی‌های ساختاری نشان دادند که نمونه تهیه شده با دمای خشک‌سازی ۱۲۰ °C و کلسینه در دمای کلسینه ۵۰۰ °C دارای بیشترین فاز مورد نظر BiFeO₃ است و نسبت به بقیه‌ی نمونه‌ها دانه‌های یکنواخت‌تری دارد. ثابت دی-کتریک و تانزانانت اتفاف دیالکتریک نمونه‌ها بررسی و مشخص شد که نمونه خشک شده در ۱۲۰ درجه سانتیگراد دارای کمترین مقدار ثابت دیالکتریک در گستره بسامدهای پایین است که این می‌تواند به کاهش نقص‌های باردار مثل تهیه-جهاهای اکسیژنی، در نمونه خشک شده در ۱۲۰ °C مربوط شود. گاف نواری نمونه‌های تهیه شده میان ۱,۸۹ eV تا ۲,۰۷ eV بدست آمد که نشان می‌دهد BiFeO₃ می‌تواند در قطعات اپتوالکترونیک نیز کاربرد داشته باشد. بررسی ویژگی‌های مغناطیسی نمونه‌ها نشان داد که تمام نمونه‌ها دارای ویژگی فرومغناطیس ضعیف هستند و نمونه خشک شده در ۱۵۰ درجه سانتیگراد بیشترین مقدار مغناطش اشباع و میدان وادارندگی را داراست که می‌تواند به وجود فازهای ناخواسته مغناطیسی در این نمونه مربوط باشد.

مراجع

- [1] Quan C., Han Y., Gao N., Mao W., Zhang J., Yang J., Huang W., "Comparative studies of pure, Ca-doped, Co-doped and co-doped BiFeO₃ nanoparticles." *Ceramics International* 42, no. 1 (2016) 537-544.
- [2] Afzal A. M., Umair M., Dastgeer G., Rizwan M., Yaqoob M. Z., Rashid R., Munir H. S., "Effect of O-vacancies on magnetic properties of bismuth ferrite nanoparticles by solution evaporation method", *Journal of Magnetism and Magnetic Materials* 399 (2016) 77-80.
- [3] Priya A., Sathiya IB Shameem Banu, Shahid Anwar, "Investigation of multiferroic properties of doped BiFeO₃ - BaTiO₃ composite ceramics", *Materials Letters* 142 (2015) 42-44.
- [4] Gowrishankar M., Rajan Babu D., Saravanan P., "Room temperature multiferroism in La and Ti

- [25] Chen P., Xu X., Koenigsmann C., Santulli A. C., Wong S. S., Musfeldt J. L., "Size-dependent infrared phonon modes and ferroelectric phase transition in BiFeO_3 nanoparticles", *Nano letters* 10, no. 11 (2010) 4526-4532.
- [26] Clark S. J., Robertson J., "Band gap and Schottky barrier heights of BiFeO_3 ", *Applied physics letters* 90, no. 13 (2007) 132903.
- [27] Ramachandran B., Dixit A., Naik R., Lawes G., Rao M. R., "Charge transfer and electronic transitions in polycrystalline BiFeO_3 ", *Physical Review B* 82, no. 1 (2010) 012102.
- [28] Rahimkhani M., Sanavi Khoshnood D., "The Influence of La and Ho Substitution on Structural, Micro Structural and Magnetic Properties of BiFeO_3 Nanopowders", *Procedia Materials Science* 11 (2015): 238-241.
- [29] Azough F., Freer R., Thrall M., Cernik R., Tuna F., Collison D., "Microstructure and properties of Co-, Ni-, Zn-, Nb-and W-modified multiferroic BiFeO_3 ceramics", *Journal of the European Ceramic Society* 30.3 (2010): 727-736.
- [30] Li M., Ning M., Ma Y., Wu Q., Ong C. K., "Room temperature ferroelectric, ferromagnetic and magnetoelectric properties of Ba-doped BiFeO_3 thin films", *Journal of Physics D: Applied Physics* 40.6 (2007): 1603.
- [31] Wang T., Xu T., Gao S., Song S. H., "Effect of Nd and Nb co-doping on the structural, magnetic and optical properties of multiferroic BiFeO_3 nanoparticles prepared by sol-gel method", *Ceramics International* 43.5 (2017): 4489-4495.
- [32] Ye W., Tan G., Dong G., Ren H., Xia A., "Improved multiferroic properties in (Ho, Mn) co-doped BiFeO_3 thin films prepared by chemical solution deposition", *Ceramics International* 41.3 (2015): 4668-4674.
- [33] Park T. J., Papaefthymiou G. C., Viescas A. J., Moodenbaugh A. R., Wong S. S., "Size-dependent magnetic properties of single-crystalline multiferroic BiFeO_3 nanoparticles", *Nano letters* 7.3 (2007): 766-772.
- [34] Wang X., Mao W., Wang Q., Zhu Y., Min Y., Zhang J., Yang T., Yang J., Li X., Huang W., "Low-temperature fabrication of $\text{Bi}_{25}\text{FeO}_{40}$ /rGO nanocomposites with efficient photocatalytic performance under visible light irradiation", *RSC Advances* 7.17 (2017): 10064-10069.
- [35] Köferstein R., Buttler T., Ebbinghaus S. G., "Investigations on $\text{Bi}_{25}\text{FeO}_{40}$ powders synthesized by hydrothermal and combustion-like processes", *Journal of Solid State Chemistry* 217 (2014) 50-56.
- [14] Gonzalez Szwacki N., Szwacka T., "Basic Elements of Crystallography", by Pan Stanford publishing, (2010) (book).
- [15] Singh S. K., Maruyama K., Ishiwara H., "Reduced leakage current in La and Ni co-doped BiFeO_3 thin films", *Applied Physics Letters* 91.11 (2007): 112913.
- [16] Wang T., Song S. H., Wang M., Li J. Q., Ravi M., "Effect of annealing atmosphere on the structural and electrical properties of BiFeO_3 multiferroic ceramics prepared by sol-gel and spark plasma sintering techniques", *Ceramics international* 42.6 (2016): 7328-7335.
- [17] Zhu C. M., Wang L. G., Tian Z. M., Luo H., Bao D. L. G. C., Yin C. Y., Huang S., Yuan S. L., "Effect of annealing temperature on the multiferroic properties of 0.7 BiFeO_3 -0.3 $\text{Bi}_{0.5}\text{Na}_{0.5}\text{TiO}_3$ solid solution prepared by sol-gel method", *Ceramics International* 42.3 (2016): 3930-3937.
- [18] Dhana lakshmi B., Kollu P., Rao B. P., Rao P. S., "Impedance spectroscopy and dielectric properties of multiferroic $\text{BiFeO}_3/\text{Bi}_{0.95}\text{Ni}_{0.05}\text{FeO}_3 - \text{Ni}_{0.5}\text{Zn}_{0.5}\text{Fe}_2\text{O}_4$ composites." *Ceramics International* 42.2 (2016): 2186-2197.
- [19] Godara S., Kumar B., "Effect of Ba-Nb co-doping on the structural, dielectric, magnetic and ferroelectric properties of BiFeO_3 nanoparticles", *Ceramics International* 41, 5 (2015) 6912-6919.
- [20] Wendlandt Wesley William, Harry G. Hecht., "Reflectance spectroscopy", New York: Interscience, (1966) (Book).
- [21] Huang D., Deng H., Yang P., Chu J., "Optical and electrical properties of multiferroic bismuth ferrite thin films fabricated by sol-gel technique", *Materials Letters* 64.20 (2010): 2233-2235.
- [22] Xu Y., Shen M., "Structure and optical properties of nanocrystalline BiFeO_3 films prepared by chemical solution deposition", *Materials Letters* 62.20 (2008): 3600-3602.
- [23] Bhushan B., Wang Z., Tol J., S Dalal N., Basumallick A., Vasanthacharya N. Y., Sanjay Kumar S., Das D., "Tailoring the magnetic and optical characteristics of nanocrystalline BiFeO_3 by Ce doping", *Journal of the American Ceramic Society* 95, no. 6 (2012) 1985-1992.
- [24] Arora M., Sati P. C., Chauhan S., Chhoker S., Panwar A. K., Kumar M., "Structural, optical and multiferroic properties of BiFeO_3 nanoparticles synthesized by soft chemical route", *Journal of superconductivity and novel magnetism* 26, no. 2 (2013) 443-448.